

## СИНГУЛЯРНОСТИ ТОРИЧЕСКИХ МНОГООБРАЗИЙ

By using the methods of toric geometry, we investigate  $F$ -theory compactifications on the elliptic Calabi–Yau threefolds.

Методами торичної геометрії досліджено компактифікації  $F$ -теорії на еліптичні трифолди Калабі – Яу.

**1. Введение.** Во времена создания общей теории относительности Эйнштейн говорил, что физика есть геометрия. Теоретики сегодняшнего дня, создавшие  $F$ -теорию [1 – 5], говорят, что физика высоких энергий есть торическая геометрия [6].

$F$ -теория — это современный вариант единой теории фундаментальных взаимодействий. Ее прототипом послужила гомотопическая теория систем конденсированных сред [7].  $F$ -теория устанавливает взаимно однозначное соответствие между солитонными состояниями и сингулярностями торических многообразий. Типичными примерами торических многообразий являются трифолды Калаби – Яу.

Цель настоящей работы — получить методами торической геометрии для трифолдов Калаби – Яу следующие результаты:

- 1) калибровочное содержание трифолдов;
- 2) мультиплетное содержание трифолдов;
- 3) фазовые переходы между трифолдами.

**2. Компактификация на трифолды Калаби – Яу.** Двенадцатимерное пространство, описывающее пространственно-временные и внутренние степени свободы, компактифицируем следующим образом [8, 9]:

$$\mathbb{R}^6 \times X^6,$$

где  $\mathbb{R}^6$  — шестимерное пространство-время, на котором действует конформная группа  $SO(4, 2)$ , а  $X^6$  — трифолд, являющийся трехмерным комплексным многообразием Калаби – Яу.

**3. Торическое представление трифолдов.** Рассмотрим взвешенное проективное пространство, определяемое следующим образом:

$$\mathbb{P}_{\omega_1, \dots, \omega_5}^4 = \mathbb{P}^4 / \mathbb{Z}_{\omega_1} \times \dots \times \mathbb{Z}_{\omega_5},$$

где  $\mathbb{P}^4$  — четырехмерное проективное пространство,  $\mathbb{Z}_{\omega_i}$  — циклическая группа порядка  $\omega_i$ . Определим на  $\mathbb{P}_{\omega_1, \dots, \omega_5}^4$  полином, называемый суперпотенциалом, который удовлетворяет условию однородности:

$$W(x^{\omega_1} \varphi_1, \dots, x^{\omega_5} \varphi_5) = x^d W(\varphi_1, \dots, \varphi_5),$$

где  $d = \sum_{i=1}^5 \omega_i$ . Множество точек  $p \in \mathbb{P}_{\omega_1, \dots, \omega_5}^4$ , удовлетворяющих условию  $W(p) = 0$ , образует трифолд Калаби – Яу  $X_d(\omega_1, \dots, \omega_5)$ . Ассоциируем с трифолдом  $X_d(\omega_1, \dots, \omega_5)$  выпуклый целочисленный полиэдр [10, 11]

$$\Delta = \left\{ (x_1, \dots, x_5) \in \mathbb{Z}^5 \mid \sum_{i=1}^5 \omega_i x_i = 0, x_i \geq -1 \right\}.$$

Целочисленный полиэдр  $\Delta$  называется рефлексивным, если соответствующий ему дуальный полиэдр

$$\nabla = \left\{ (y_1, \dots, y_4) \mid \sum_{i=1}^4 x_i y_i \geq -1, (x_1, \dots, x_4) \in \Delta \right\}$$

также целочислен. Наличие рефлексивных полиэдров  $\Delta$  и  $\nabla$  свидетельствует, что многообразия Калаби – Яу имеют  $m$ гог симметрию. Это означает, что у каждого трифолда с характеристикой Эйлера  $\chi = 2(h^{11} - h^{21})$  есть дуальный партнер –  $m$ гог с характеристикой Эйлера  $\chi = 2(h^{21} - h^{11})$ , где  $h^{11}$  и  $h^{21}$  — числа Ходжа трифолда.

Полиэдры  $\Delta$  и  $\nabla$  рефлексивны тогда и только тогда, когда трифолд Калаби – Яу  $X$  описывается дисплеем

$$\begin{array}{ccccc} \varepsilon & = & \varepsilon & & \\ \downarrow & & \downarrow & & \\ K3 & \rightarrow & X & \rightarrow & \mathbb{P}^1 \\ \downarrow & & \downarrow & & \parallel \\ \mathbb{P}^1 & \rightarrow & F_{2k} & \rightarrow & \mathbb{P}^1, \end{array} \quad (1)$$

т. е. когда  $X$  является одновременно эллиптическим расслоением на поверхности Хирцебруха  $F_{2k}$  и  $K3$ -расслоением на проективной прямой  $\mathbb{P}^1$ .

**4. Nesting полиэдров.** Исследуем эллиптические трифолды вида

$$X_{12k+12}(1, 1, 2k, 4k+4, 6k+6), \quad (2)$$

где  $k = 1, \dots, 6$ . Эти трифолды описываются дисплеем (1).

Применяя компьютерную программу PORTA [12], можно вычислить дуальные полиэдры для трифолдов (2). Полиэдры для каждого  $k$  имеют идентичные свойства, поэтому ограничимся рассмотрением случая  $k = 1$ . Для этого случая точки дуального полиэдра  $\nabla$  приведены в табл. 1.

Таблица 1

$\nabla$
(-1, 0, 2, 3)
(0, -1, 2, 3)
(0, 0, -1, 0)
(0, 0, 0, -1)
(0, 0, 0, 0)
(0, 0, 0, 1)
(0, 0, 1, 1)
(0, 0, 1, 2)
(0, 0, 2, 3)
(0, 1, 2, 3)
(1, 2, 2, 3)

Следующие наблюдения проясняют структуру полиэдра  $\nabla$ :

1. Опуская первую и последнюю точки  $\nabla$ , получаем дуальный полиэдр  $\nabla^3$  для  $K3$  поверхности  $X_{12}(1, 1, 4, 6)$ .
2. Опуская первые две точки и последние две точки  $\nabla$ , получаем дуальный полиэдр  ${}^2\nabla$  для тора  $X_6(1, 2, 3)$ .

3. Полиэдр  ${}^3\nabla$  разделяется на части top и bottom полиэдром  ${}^2\nabla$  и представляется в виде объединения

$${}^3\nabla = \nabla_{\text{bot}}^H \cup \nabla_{\text{top}}^{k=1},$$

где  $\nabla_{\text{top}}^{k=1}$  зависит только от  $k=1$ , тогда как  $\nabla_{\text{bot}}^H$  зависит только от enhanced группы  $H$ . К вычислению этих групп мы и перейдем.

Введем специальные точки

$$pt_1^{(j)} = (0, -j, 2, 3),$$

$$pt_2^{(j)} = (0, -j, 1, 2),$$

$$pt_3^{(j)} = (0, -j, 1, 1),$$

$$pt_4^{(j)} = (0, -j, 0, 1),$$

$$pt_5^{(j)} = (0, -j, 0, 0),$$

$$pt_6^{(j)} = (0, -j, -1, 0),$$

$$pt_7^{(j)} = (0, -j, 0, -1),$$

где  $j$  — положительное целое число.

Рассмотрим теперь возможность присоединения к  ${}^2\nabla$  комбинаций точек  $pt_r^{(j)}$  всеми возможными способами так, чтобы возникающие полиэдры bottom были рефлексивными. В табл. 2 и на рисунках 1 и 2 показаны рефлексивные полиэдры bottom, из которых вычитываются диаграммы Дынкина для enhanced группы.

Таблица 2

$H$	Bottom
$SU(1)$	$\{pt_1^{(1)}\}$
$SU(2)$	$\{pt_1^{(1)}, pt_2^{(1)}\}$
$SU(3)$	$\{pt_1^{(1)}, pt_2^{(1)}, pt_3^{(1)}\}$
$SU(4)$	$\{pt_1^{(1)}, pt_2^{(1)}, pt_3^{(1)}, pt_4^{(1)}\}$
$SU(5)$	$\{pt_1^{(1)}, pt_2^{(1)}, pt_3^{(1)}, pt_4^{(1)}, pt_5^{(1)}\}$
$SO(10)$	$\{pt_1^{(2)}, pt_2^{(2)}, pt_3^{(1)}, pt_4^{(1)}, pt_5^{(1)}\}$
$E_6$	$\{pt_1^{(3)}, pt_2^{(2)}, pt_3^{(2)}, pt_4^{(1)}, pt_5^{(1)}\}$
$E_7$	$\{pt_1^{(4)}, pt_2^{(3)}, pt_3^{(2)}, pt_4^{(2)}, pt_5^{(1)}\}$

Заметим, что в каждом случае есть точки  ${}^2\nabla$  и обозначение  $pt_r^{(j)}$  подразумевает наличие  $pt_r^{(j-1)}, \dots, pt_r^{(1)}$ .

В результате мы получаем табл. 3 для цепочек трифолдов, демонстрирующих nesting полиэдров.

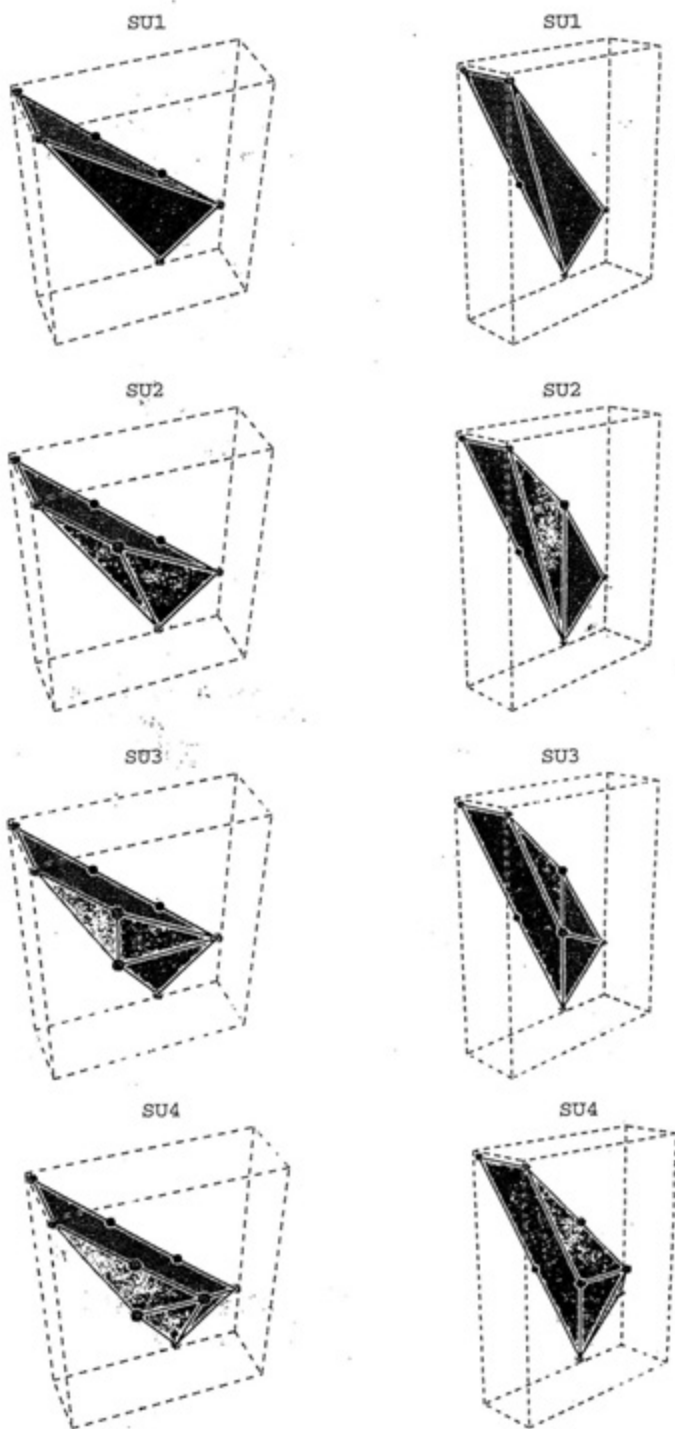


Рис. 1

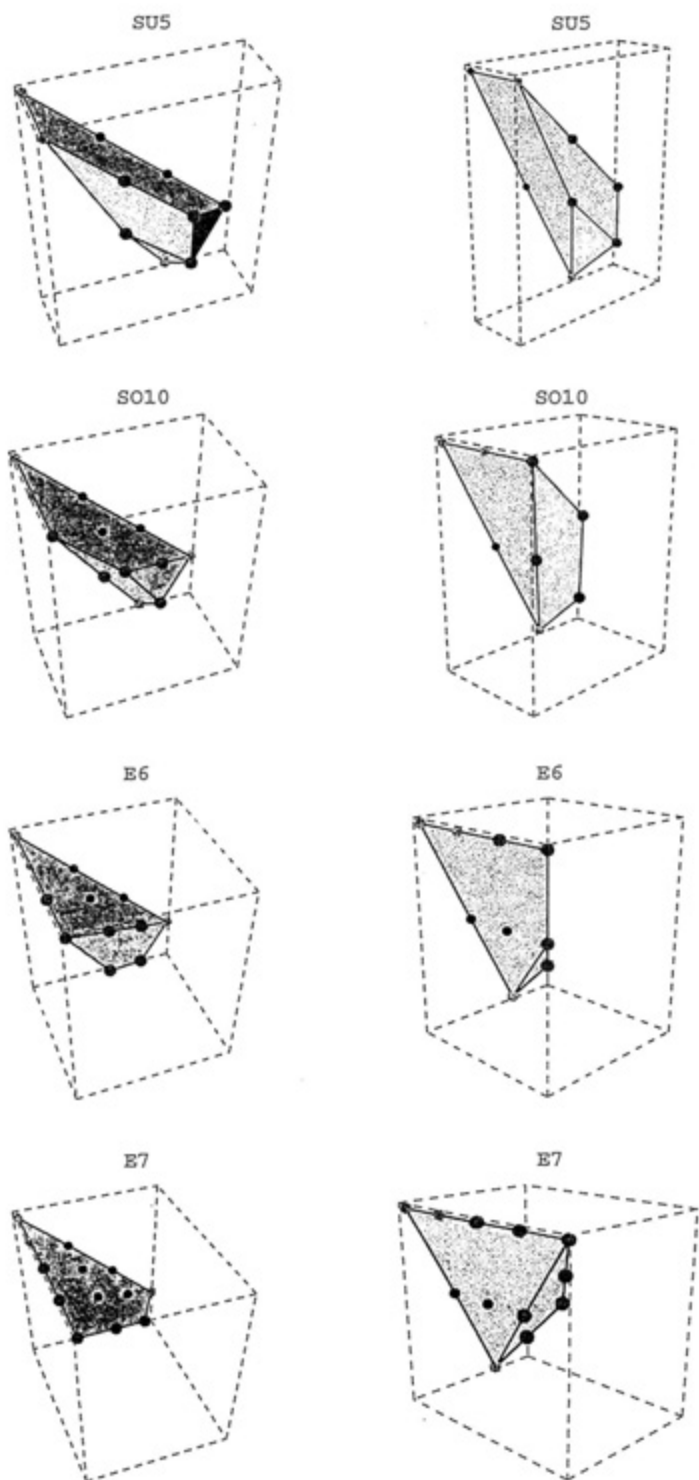


Рис. 2

Таблица 3

$F_n$	$SU(1)$	$SU(2)$	$SU(3)$	$SU(4)$	$SU(5)$	$SO(10)$	$E_6$	$E_7$
$F_2$	(243, 3)	(190, 4)	(161, 5)	(138, 6)	(117, 7)	(112, 8)	(105, 9)	(96, 10)
$F_4$	(271, 7)	(194, 8)	(153, 9)	(122, 10)	(95, 11)	(88, 12)	(79, 13)	(68, 14)
$F_6$	(321, 9)	(220, 10)	(167, 11)	(128, 12)	(95, 13)	(86, 14)	(75, 15)	(62, 16)
$F_8$	(376, 10)	(251, 11)	(186, 12)	(139, 13)	(100, 14)	(89, 15)	(76, 16)	(61, 17)
$F_{10}$	(433, 13)	(284, 14)	(207, 15)	(152, 16)	(107, 17)	(94, 18)	(79, 19)	(62, 20)
$F_{12}$	(491, 11)	(318, 12)	(229, 13)	(166, 14)	(115, 15)	(100, 16)	(83, 17)	(64, 18)

Числа Ходжа  $(h^{21}, h^{11})$  также вычитываются из полиэдров.

Enhanced группы определяют типы сингулярностей слоев эллиптических расслоений трифолдов [13, 14]. Эти сингулярности интерпретируются как солитонные состояния. Числа Ходжа  $(h^{11}, h^{21})$  показывают из скольких векторных мультиплетов и синглетных гипермультиплетов состоят солитонные состояния. Диагональные генераторы enhanced групп являются квантовыми числами типа цветов и ароматов. Nesting полиэдров интерпретируется как фазовый переход.

1. *Bershadsky M., Intriligator K., Kachru S., Morrison D. R., Sadov V., Vafa C.* Geometric singularities and enhanced gauge symmetries // Nucl. Phys. B. – 1996. – 481. – P. 215 – 252.
2. *Candelas P., Font A.* Duality between the webs of heterotic and type II vacua // Ibid. – 1998. – 511. – P. 295 – 325.
3. *Candelas P., Pevvalov E., Rajesh G.* Toric geometry and enhanced gauge symmetry of  $F$ -theory/heterotic vacua // Ibid. – 1997. – 507. – P. 445 – 474.
4. *Pevvalov E., Skarke H.* Enhanced gauge symmetry in type II and  $F$ -theory compactifications: Dynkin diagrams from polyhedra // Ibid. – 1997. – 505. – P. 679 – 700.
5. *Candelas P., Pevvalov E., Rajesh G.* Matter from toric geometry // Ibid. – 1998. – 519. – P. 225 – 238.
6. *Fulton W.* Introduction to toric varieties. – Princeton: Princeton Univ. Press, 1993. – 581 p.
7. *Rajaraman R.* Solitons and instantons. – Amsterdam: North-Holland, 1982. – 414 p.
8. *Morrison D. R., Vafa C.* Compactifications of  $F$ -theory on Calabi – Yau threefolds – I // Nucl. Phys. B. – 1996. – 473. – P. 74 – 92.
9. *Morrison D. R., Vafa C.* Compactifications of  $F$ -theory on Calabi – Yau threefolds – II // Ibid. 1996. – 476. – P. 437 – 469.
10. *Hosono S., Klemm A., Theisen S., Yau S.-T.* Mirror symmetry, mirror map and applications to Calabi – Yau hypersurfaces // Commun. Math. Phys. – 1995. – 167. – P. 301 – 350.
11. *Hosono S., Klemm A., Theisen S., Yau S.-T.* Mirror symmetry, mirror map and applications to complete intersection Calabi – Yau spaces // Nucl. Phys. B. – 1995. – 433 – P. 501 – 554.
12. *Christo T., Loebel A.* PORTA - A polyhedron representation transformation algorithm // <http://elib.zib.de/>.
13. *Kodaira K.* On compact analytic surface II // Ann. Math. – 1963. – 77. – P. 563.
14. *Tate J.* Algorithm for determining the type of a singular fiber in an elliptic pencil, in modular functions of one variable // Lect. Notes Math. – Berlin: Springer, 1975. – 476. – 300 p.

Одержано 28.10.98